

東京工業大学 正会員 沢本 正樹
東京工業大学 ○学生員 山口 清一

1 まえがき——砂連の存在する場での波による浮遊砂機構を解明しようとする場合、砂連から発生する渦による乱流構造を明らかにすることが先決であると思われる。堀川・渡辺は電解式乱流計により砂連上の乱れを測定し、日野・大西は熱線流速計により横粗度上の乱れを測定した。本研究は Hot Film を用い、砂連上の流速の水平成分、その乱れ成分等を測定したものである。

2 実験装置及び方法——実験は長さ 20m, 幅 4m, 深さ 60cm の水路で行ない、造波装置の反対側には消波装置を置き反射波をなくした。実験条件は水深 30cm, 周期 1.5 sec, 波高 5.5 cm であり、砂連は、本間・堀川らによる砂連の算定式より、上述の諸条件に対応する砂連波長、波高を手の人工的に作成した。これは、実際に波を起こして得られる砂連の大きさとほとんど一致した。測定点は図-1のように 4 つの断面に対し、原点 ($Z=0.0$) を砂連頂にとり $Z=2.0\text{cm}$ までは 0.2cm ごと、 $Z=2.0\text{cm}$ から 4.0cm の間は 0.5cm 間隔にとった。また本研究では、流速の水平成分を測定するため、2 つの I 型プローブを X 型に組み合わせて用いた。Data 処理は A/D 変換装置により、必要に応じて電磁オシロでモニターを行なった。

3 瞬間流速——1 本の Hot Film によりオシログラフに記録して得られた、瞬間流速の高さ方向の変化の一例を、砂連の谷及び峰について図-2 及び図-3 に示す。図-2 はプロースを波の進行方向に対し直角におくことによって得られた流速の合速度 ($\sqrt{u^2 + w^2}$) を表わしたものであり、図-3 は波の進行方向に対し平行におくことによって得られた流速の鉛直成分を表わしたものである。図-2 を見ると、底面付近ではかなり不規則に乱れており、約 1cm 程度以上を過ぎると流れは規則的になっていていることがわかる。また粗度の小さい場合の乱流振動流で見られるような流速の位相のずれはほとんど見られない。図-3 によると、流速の鉛直成分は周期性がほとんど見られず、その大きさは底付近では無視できぬ大きさであり、特に位相の後半 ($\pi \sim 2\pi$) では大きい。これは砂連の岸側と沖側で発生する渦の大きさに相違があるためであると考えられる。

4 平均流速及び変動流速——上述の議論を定量的に把握するために、ある位相における平均流速を N 個の波のアンサンブル平均、及

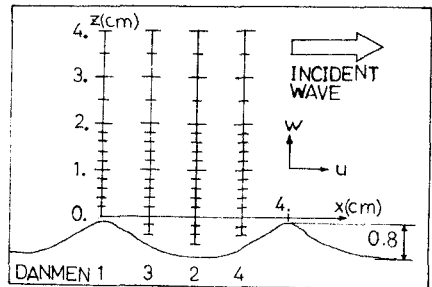


図-1 砂連の寸法及び測定点

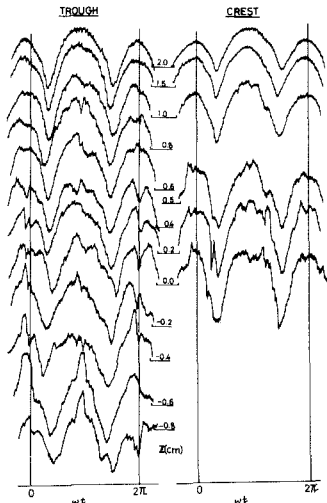


図-2 位相及び高さ変化による

瞬間流速分布



図-3 鉛直流速分布

び変動流速を、平均流速からのずれの自乗をN波について平均したものの平方根として、下式のように定義した。

$$\bar{U}(x, z, t) = \frac{1}{N} \sum_{k=1}^N U_k(x, z, t)$$

$$U^2(x, z, t) = \frac{1}{N} \sum_{k=1}^N (U_k - \bar{U})^2$$

実験では、計算機に直結されたA/D変換機によりサンプリング間隔0.02secで波の峰から測定を開始し、32波の平均を取ることとした。このようにして得られたDataを砂連の谷の場合について示したもののが図-4であり、高さ方向及び位相の変化による平均流速及び変動流速を示している。平均流速については、砂連の谷底(z=-0.6cm)では流速の大きさも小さく、規則性も乏しい。またz=0.0cm以上では波の峰が来た時は底部の方から流速が大きいが、谷が来た時は上部の方が流速が大きくなっている。変動流速に関しては、高さ方向の差異による大きさの差は明瞭には見られないが、流速が最大に達する時には変動流速が小さくなり、流速の加速域及び減速域に変動成分のピークが表われている。

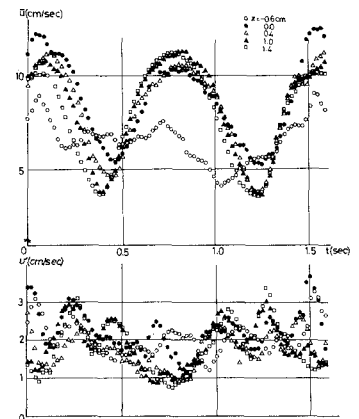


図-4 平均流速及び変動流速

5 因子分析法による流速成分——砂連により発生する渦は

周期的に見れば、かなりの定常性がある。したがって砂連付近の平均流速には波による振動流成分、砂連の凸凹による変動成分、及び砂連により発生する大きな渦による成分等が含まれていると考えられる。ここではこれらの成分を抽出するためには、各断面の流速をそれぞれベクトルと看え断面ごとに正準因子分析法を適用した。図-5は計算上有意であるとみなしうる3つの因子について示しており、図-6はその時間的寄与の大きさをオ1断面の場合について示したものである。

これらの図より、オ1因子は、その変動も波形と良く対応しており、波による振動成分を表わしていることがわかり、オ2因子については、その変動は加速域で正の最大、減速域で負の最大を取っており砂連による地形の影響を表わしているものと思われる。オ3因子に関しては、その変動はほぼオ2因子と逆の傾向を示しているが、その意味は明らかではない。

6 結語——ここでは、I型Hot FilmをX型にして用い、砂連上の水平方向の平均流速及び変動流速を測定した。また、正準因子分析を用いることにより、平均流速に含まれる流速の因子の分離を試みたが、渦による成分を定量的に得るにはいたらなかった。今後、砂連により発生する大きな渦の、大きさ、強さ等の定量的な値を見出す方法を研究していく予定である。

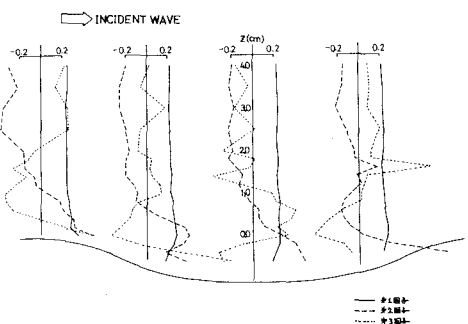


図-5 平均流速の因子分析

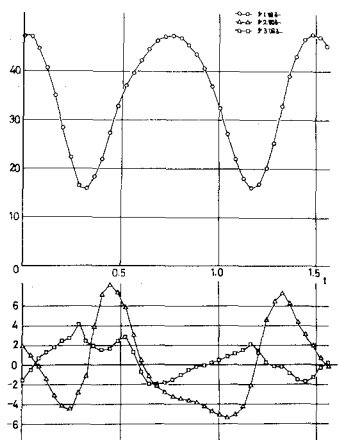


図-6 各因子の時間的寄与

(参考文献) 本間・堀川・鹿島 海講(1964) 堀川・渡辺 海講(1970)

田野・大西 海講(1971) Nakao,T et al ASCE(1977)